10 月

建铅结构

# FLY ASH COMPREHENSIVE UTILIZATION

# 不锈钢筋混凝十梁受弯性能试验研究

Experimental Study on the Flexural Performance of Stainless Steel Reinforced Concrete Beams

赵 晶1、李海云2、刘志坚3、管忠正2、王为鑫3

(1. 广州地铁设计研究院股份有限公司, 广东 广州 510000; 2. 石家庄铁道大学 土木工程学院, 河北 石家庄 050043; 3. 中铁十四局集团有限公司, 山东 济南 250101)

要:对不锈钢筋混凝土(HSS-RC)梁、不锈钢筋超高性能混凝土(HSS-UHPC)梁进行抗弯性能试 验研究,得到不锈钢筋超高性能混凝土(HSS- UHPC)梁的受弯性能。结果表明:不锈钢筋与 UHPC 共同工 作时,承载能力、抗裂性能均显著提高;配筋率和截面积与试件承载能力呈正相关,与裂缝宽度呈负相关; 平截面假定仍适用于 HSS- PC 梁与 HSS- UHPC 梁;GB 5010—2010 《混凝土结构设计规范》中普通钢筋混凝 土受弯承载力公式及裂缝宽度计算公式仍适用于 HSS-RC 梁,考虑受拉区 UHPC 的抗拉性能,提出了适用于 HSS-UHPC 梁的受弯承载力公式和裂缝宽度计算公式。为不锈钢筋混凝土梁的设计及工程应用提供试验依据与 理论基础。

关键词:不锈钢筋;超高性能混凝土;配筋率;受弯承载力;裂缝宽度

中图分类号: TU37 文献标志码: A

文章编号: 1005-8249 (2024) 05-0081-07

**DOI**: 10.19860/j.cnki.issn1005-8249.2024.05.015

ZHAO Jing<sup>1</sup>, LI Haiyun<sup>2</sup>, LIU Zhijian<sup>3</sup>, GUAN Zhongzheng<sup>2</sup>, WANG Weixin<sup>3</sup>

- (1. Guangzhou Metro Design & Research Institute Co., Ltd., Guangzhou 510000, China;
- 2. School of Civil Engineering, Shijiazhuang Tiedao University, Shijiazhuang 050043, China;
  - 3. China Railway 14th Bureau Group Corporation Limited, Ji'nan 250101, China)

Abstract: Conducting bending performance tests on stainless steel reinforced concrete (HSS-RC) beams and stainless steel reinforced Ultra-High Performance Concrete (HSS-UHPC) beams has yielded the flexural behavior of HSS-UHPC beams. The results demonstrate that when stainless steel bars are used in conjunction with UHPC, there is a significant enhancement in both load-bearing capacity and crack resistance. The reinforcement ratio and cross-sectional area are positively correlated with the specimen's load-bearing capacity, while they are negatively correlated with crack width. The assumption of a flat crosssection remains valid for both HSS-RC and HSS-UHPC beams. The formulas for calculating the bending capacity and crack width of ordinary reinforced concrete in the "Code for Design of Concrete Structures" GB 5010-2010 are still applicable to HSS-RC beams. By considering the tensile properties of UHPC in the tensile zone, formulas for calculating the bending capacity and crack width of HSS-UHPC beams have been proposed. This study provides an experimental basis and theoretical foundation for

作者简介:赵 晶(1985-),男,硕士,高级工程师,研究方向:不锈钢筋混凝土力学性能研究。

通信作者:刘志坚(1986-),男,本科,高级工程师,研究方向:地下工程建设与管理。

收稿日期: 2024-05-07

<sup>\*</sup>基金项目: 国家自然科学基金项目(52308272)。

the design and engineering application of stainless steel reinforced concrete beams.

Keywords: stainless steel reinforcing bars; ultra-high performance concrete; reinforcement ratio; bending capacity; crack width

## 0 引言

钢筋混凝土结构综合了钢筋和混凝土的优点,造价低,取材方便,是土木工程结构中最常用的形式之一。在钢筋混凝土结构应用于土木工程的170年间,因钢筋锈蚀引起的钢筋混凝土结构失效问题,已成为各国学者们关注的焦点<sup>[1-2]</sup>。钢筋锈蚀的原因有自然电化学腐蚀、氯离子侵蚀等,而不锈钢筋中具有镍、铬、碳等元素,能在氧化介质中形成钝化膜,防止钢筋氧化<sup>[3-4]</sup>。混凝土方面,由于普通混凝土在凝结时水泥石收缩、骨料下沉等原因,导致混凝土内部存在缺陷,而超高性能混凝土(Ultra-High Performance Concrete,UHPC)具有高强度、高韧性、高抗冲击性能等优点<sup>[5-7]</sup>,能有效地提高梁受弯性能以及延性性能。

目前为止,国内外对不锈钢筋和 UHPC 的研究 主要集中于材料,而对不锈钢筋 - UHPC 构件的研究 相对较少。常跃等[8]对 UHPC 加固的钢筋混凝土梁 进行受弯性能试验研究,结果表明, UHPC 加固厚度 会显著提高钢筋混凝土梁的抗弯承载力; Rabi 等[9] 研究发现,采用不锈钢筋的构件可以减少由于钢筋 腐蚀和混凝土碳化带来的损害,进而提高混凝土构 件的预期寿命;高迪等[10]对比研究了不锈钢筋梁和 普通钢筋梁的受弯性能,研究表明,相同配筋率下, 不锈钢筋梁受弯承载力与普通钢筋梁相当; 赵毅 等[11]研究不锈钢筋对受弯构件裂缝宽度的影响,建 议将不锈钢筋梁的最大裂缝宽度限值调整为 0.4 mm; 张国学等[12]对不锈钢筋梁抗震性能进行了试验研究, 发现不锈钢筋构件具有更加优越的延性性能; 王照 耀等[13]对 UHPC 梁进行了受剪性能试验,发现钢纤 维接桥作用可以显著提高 UHPC 梁受剪承载力并限 制裂缝发展;徐明雪等[14]通过12根 UHPC 梁试验, 提出了 UHPC 梁截面开裂弯矩计算式: 徐海滨等[15] 通过8根T型UHPC梁受弯试验,发现预应力对开裂 荷载影响明显,并给出了 UHPC 梁开裂弯矩和最大 裂缝宽度的建议公式;杨剑等[16]通过9根T型简支 梁试验,得到梁截面塑性影响因数为1.53,并据此 建立了 UHPC 受弯构件开裂弯矩计算公式和极限承载力公式。

综上所述,学者们对不锈钢筋混凝土梁和钢筋UHPC梁开展了大量的研究,但对于不锈钢筋UHPC受弯构件的力学性能却鲜有研究,基于此,对不锈钢筋和UHPC结合组成的受弯构件进行受弯性能研究,提出适用于不锈钢筋-UHPC梁的受弯承载力及裂缝宽度计算公式,为构件设计理论及工程应用提供参考。

## 1 试验概况

## 1.1 试件设计

试验考虑钢筋直径、混凝土强度、截面尺寸等参数对梁受弯性能的影响,设计制作了6根不锈钢筋混凝土(HSS-RC)梁、4根不锈钢筋UHPC(HSS-UHPC)梁。试件长1500mm,高200mm,跨高比7.5,具体参数见表1。梁跨中400mm为纯弯段,纯弯段内不设箍筋,纯弯段到支座间的箍筋间距为100mm,混凝土保护层厚度为25mm,试件具体构造如图1所示。

表 1 试件分组及设计参数 Table 1 Sample grouping and design parameters

- 14	ne i Sump	ore group	ing und des	1511 Paramet	C15
试件编号	钢筋直径 /mm	混凝土 强度	配筋率/%	配箍率	截面尺寸 /mm
HSS – 1	10	C30	0. 53	ф8@ 100	150 × 200
HSS-2	16	C30	1. 34	ф12@ 100	$150\times200$
HSS - 3	12	C30	0.75	ф12@ 100	$150 \times 200$
HSS-4	16	C40	1. 34	ф12@ 100	$150 \times 200$
HSS-5	16	C50	1. 34	ф12@ 100	$150\times200$
HSS-6	16	C30	1.01	ф12@ 100	$200 \times 200$
HC - HSS - 1	10	UHPC	0.53	ф8@ 100	$150 \times 200$
HC - HSS - 2	16	UHPC	1. 34	ф12@ 100	$150 \times 200$
HC - HSS - 3	12	UHPC	0.75	ф12@ 100	$150 \times 200$
HC - HSS -4	16	UHPC	1. 01	ф12@ 100	200 × 200

注: HC 为超高性能混凝土; HSS 为不锈钢筋。



图 1 混凝土梁构造图 Fig. 1 Structural drawing of concrete beam

#### 1.2 材料性能

为获得不同强度混凝土的抗压强度,与试验梁同时浇筑混凝土立方体试块,尺寸为100×100×100 mm。采用微机屏显式液压压力试验机进行加载,测得混凝土抗压强度见表2。

表 2 混凝土立方体抗压强度

	Гabe 2	Cube comp	ressive strength of o	concrete /MPa
C30		C40	C50	UHPC
29. 6		44. 1	50. 6	120. 2

根据 GB/T 228. 1—2021《金属材料试验拉伸第 1 部分:室温试验方法》<sup>[17]</sup>对不锈钢筋进行取样,采用 SHT4106-G 微机控制电液伺服万能试验机,以 10 MPa/s 的加载速度测定不锈钢筋的力学性能,见表 3。

表 3 钢筋力学性能

Tabe 3 Mechanical properties of steel bars

钢筋直径 /mm	屈服强度f <sub>y</sub> /MPa	极限强度 f <sub>u</sub> /MPa	屈强比	弹性模量 E /MPa
10	611	836	0. 73	190 423
12	688	835	0.82	187 050
16	704	862	0.82	186 948

#### 1.3 测点布置及加载方式

为测定加载过程中受拉钢筋及混凝土的应变分布情况,每根受拉钢筋中点分别粘贴1个应变片,梁跨中前后面各粘贴3个应变片,梁跨中顶面和底面各粘贴2个应变片。在梁底部跨中以及加载点正下方安装3个位移计用于测量梁的竖向位移;在距离梁端150 mm 的支座正上方安放2个位移计,用于测量支座处的竖向位移。钢筋应变片粘贴位置如图2所示。



图 2 钢筋应变片粘贴位置 Fig. 2 Location of steel strain gauge pasting

为保证试件中部加载点处荷载等大、同步,在 试件上方布置分配梁,通过50 t 的手摇千斤顶对分 配梁跨中施加集中荷载,并通过传感器测定。加载 过程中,用精度为0.02 mm 的刻度放大镜观测裂缝 的发展,其余数据通过电脑自动采集。试验梁加载 装置如图3所示。

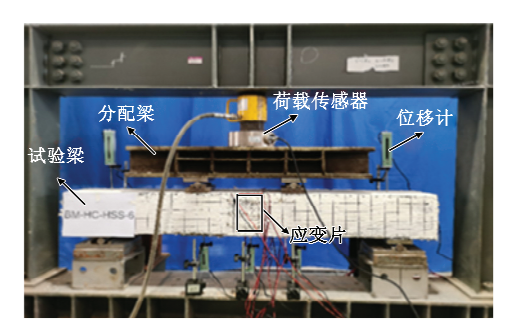
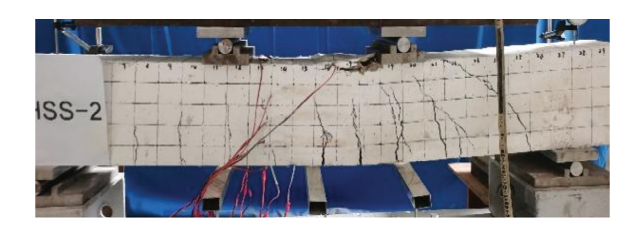


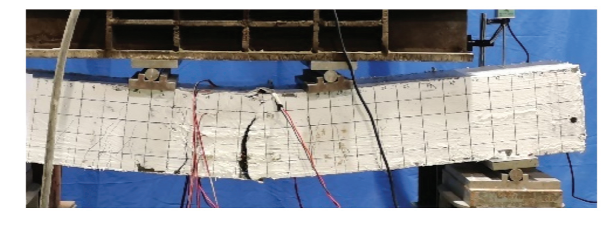
图 3 试件加载装置 Fig. 3 Specimen loading device

## 2 试验分析

HSS-RC 梁破坏时梁底产生大量受拉裂缝,随着荷载的增大,挠度不断增大,直至梁顶混凝土压溃破坏;与HSS-RC 梁相比,HSS-UHPC 试件最终破坏时只在跨中出现1条主裂缝以及少量细小裂缝,且结构基本完整。HSS-RC 梁、HSS-UHPC 梁的典型破坏形态及裂缝分布情况如图4所示。



(a) HSS-RC 梁



(b) HSS-UHPC 梁

图 4 梁破坏形态及裂缝分布情况 Fig. 4 Beam failure mode and crack distribution

#### 2.1 承载力对比分析

表 4 为 HSS-RC 梁与 HSS-UHPC 梁 3 种配筋率下受弯承载力实测值。相同配筋率下,HSS-UHPC 梁受弯承载力明显高于 HSS-RC 梁,且随着配筋率增加,不锈钢筋与 UHPC 结合后二者的高抗拉性能得到了充分的发挥,承载力可提高至 HSS-RC 梁的2.06 倍。

表 4 承载力实测值对比表

Table 4 Comparison of measured bearing capacity values

_				0 1	
_	编号	$M_u$ / (kN · m)	编号	$M_t$ / (kN · m)	$M_t/M_u$
_	HSS-1	18. 43	HC- HSS-1	27. 9	1. 51
	HSS-2	28. 22	HC-HSS-2	58. 26	2.06
	HSS-3	22. 80	HC-HSS-3	41.88	1.83

#### 2.2 裂缝发展与对比分析

梁的裂缝发展可划分为4个阶段:第一阶段为开 裂前阶段;第二阶段为初裂阶段;第三阶段为裂缝 发展阶段;第四阶段为破坏阶段。

试验过程中,所有试件均从梁底部开始出现裂缝,并且随着荷载的增加,梁底裂缝数量逐渐增多,裂缝宽度逐渐增大。与 HSS-RC 梁相比,在加载前期,HSS-UHPC 梁裂缝发展缓慢,由于钢纤维的存在,梁受拉区开裂后,受拉区混凝土依旧与钢筋共同工作,表现出比 HSS-RC 梁更高的承载力;随着加载的进行,HSS-UHPC 梁的裂缝向上延伸,在达到梁高的3/5 后便基本稳定,不会再有较大幅度的发展,且裂缝较多集中在两个加载点之间;试验加载后期,HSS-RC 梁受压区出现横向裂缝,进而受压区混凝土被压碎,HSS-UHPC 梁则在跨中出现1道主裂缝,其余裂缝在此阶段基本稳定;继续加载,试件挠度增长变快,HSS-UHPC 梁横向裂缝增多,并开始出现小部分剥落和凸起。

裂缝宽度对比数据见表 5,由于 HSS-UHPC 梁中钢 纤维的桥接作用,使得裂缝宽度明显小于 HSS-RC 梁。

表 5 裂缝宽度实测值对比表

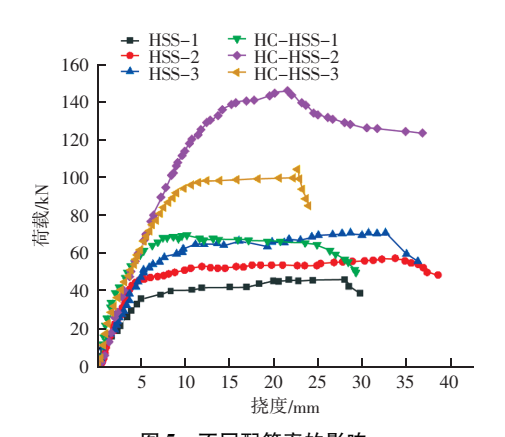
Table 5 Comparison of calculatedcrack width values

编号	$\omega_{\text{maxj}}/mm$	编号	$\omega_{\text{maxs}}/\text{mm}$	$\omega_{\text{max}j}/\omega_{\text{maxs}}$
HSS-1	0. 35	HC- HSS-1	0. 14	2. 50
HSS-2	0.40	HC-HSS-2	0. 20	2. 00
HSS-3	0.39	HC-HSS-3	0. 20	1. 95

## 3 影响因素分析

## 3.1 配筋率的影响

图 5 为不同配筋率试验梁的荷载 - 挠度曲线。随着配筋率增大,HSS-RC 梁和 HSS-UHPC 梁抗弯承载力均有所提高,其中 HSS-UHPC 梁提高的幅度更加明显,由于 UHPC 中钢纤维的存在,HSS-UHPC 梁受拉区 UHPC 开裂后仍承担一部分拉力,使得其具有更高的承载力和更好的延性性能。



38 卷

图 5 不同配筋率的影响 Fig. 5 The influence of reinforcement ratios

#### 3.2 混凝土强度的影响

图 6 为 4 个强度混凝土梁的荷载 - 挠度曲线。两种试验梁试件受弯承载力均随混凝土强度的提高而提高。与 HSS-RC 梁相比,HSS-UHPC 梁在弹性阶段的斜率更大;随着加载的进行,荷载增长速度较快,且在弹性阶段持续时间更长;HSS-UHPC 梁由弹性阶段转变为弹塑性阶段时,试件的挠度和荷载均大于 HSS-RC 梁,表现出更高的承载能力。

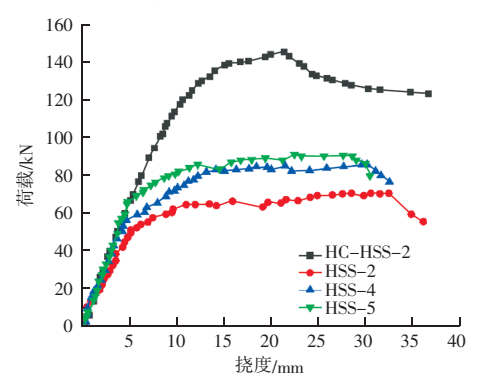


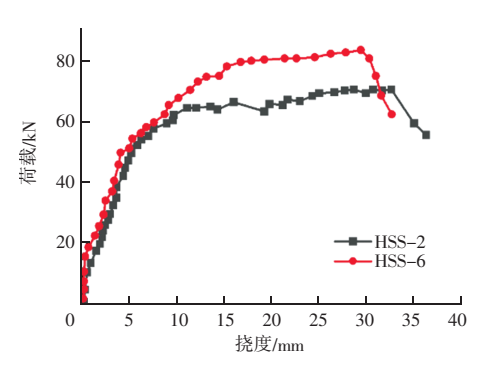
图 6 混凝土强度等级的影响 Fig. 6 The influence of concrete strength

#### 3.3 截面尺寸的影响

图 7 为不同截面尺寸对两种试验梁受弯性能的影响。当 HSS-RC 梁截面宽度由 150 mm 增加到 200 mm 时,极限荷载增加了约 18%,挠度减少了约 6%。当 HSS-UHPC 梁截面宽度增加后,极限荷载增加了约 21%,挠度减少了约 27%。结果表明,随着截面尺寸的增加,可显著提高受弯构件的受弯承载力。

## 4 试验梁承载力及裂缝宽度分析

图 8 为 HSS-RC 梁和 HSS-UHPC 梁应变随截面高度的变化情况。沿截面高度,两种试验梁应变呈线



#### (a) 普通混凝土

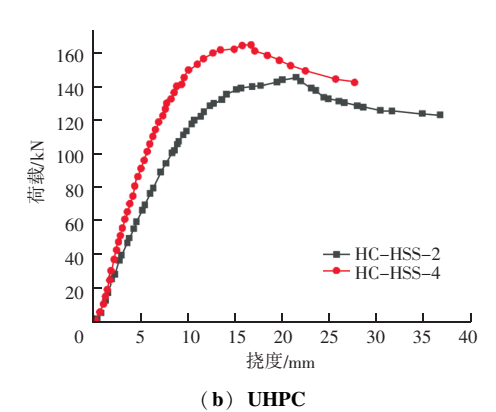
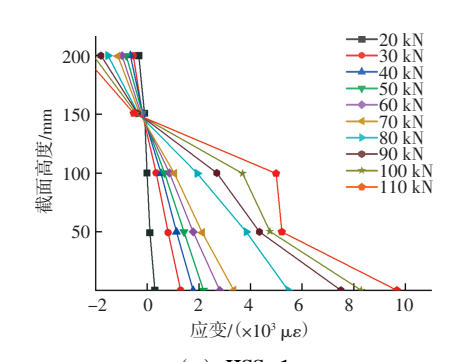


图 7 截面尺寸的影响

Fig. 7 The influence of cross-sectional dimensions



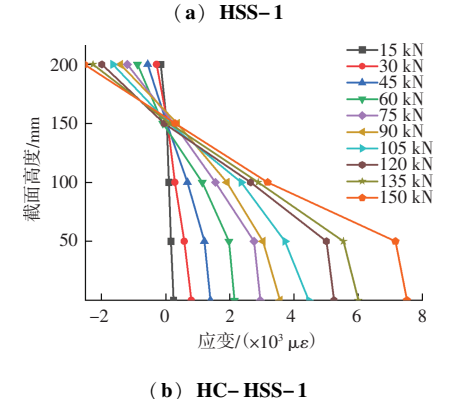


图 8 试验构件应变分布 Fig. 8 Strain distribution of test components

性变化,基本符合平截面假定,说明平截面假定同样适用于 HSS-RC 梁和 HSS-UHPC 梁。并且在相同荷载条件下,HSS-UHPC 梁应变明显小于 HSS-RC 梁。

#### 4.1 受弯承载力计算表达式

HSS-RC 试件中不锈钢筋具有与普通钢筋相近的力学性能,仍采用 GB 5010—2010《混凝土结构设计规范》<sup>[18]</sup>(下文中简称"规范")中梁的受弯承载力公式对其承载力进行计算,公式为:

$$\alpha_1 f_c b x = f_x A_s \tag{1}$$

$$M = \alpha_1 f_c b x (h_0 - x/2) \tag{2}$$

式中:  $\alpha_1$  取 1;  $f_e$ 为实测混凝土强度; b 为梁截面宽度; x 为受压区高度;  $f_y$ 为实测钢筋强度;  $A_s$ 为受拉区纵向受力钢筋的截面面积;  $h_0$ 为截面有效高度。

由于 UHPC 具有较高的抗拉性能,考虑 HSS-UHPC 试件受拉区混凝土对承载力的贡献,参考现有规范中普通混凝土受弯承载力公式以及 UHPC 本构关系,得到 HSS-UHPC 梁的受弯承载力表达式<sup>[19]</sup>:

$$M = \frac{1}{18} f_c b x_{c1}^2 (9 - 2k) + f_y A_s (h_0 - x_{c1}) +$$

$$0.53 f_t b (h - x_{c1})^2$$

$$x_{c1} = \frac{9 (f_y A_s + f_t b h)}{12 f_t b + 2 f_e b (4 - k)}$$
(3)

式中:  $x_{c1}$  为混凝土受压区高度;  $k = 0.4947 \ln f_{cu,k} - 1.5771$ 。

理论计算值与试验值的对比情况见表 6。HSS-RC 梁与 HSS-UHPC 梁受弯承载力计算值与实测值 吻合良好,且与 HSS-RC 梁相比,实测值与计算值比值更小,结果更精确。

表 6 承载力理论计算值与试验值对比
Table 6 Comparison of the theoretical calculated value
of bearing capacity with the experimental value

of be	aring capacity wit	h the experimental	value
 编号	实测值	计算值	实测值
	/ (kN·m)	/ (kN·m)	/计算值
HSS-1	18. 43	16. 27	1. 13
HSS-2	28. 22	25. 19	1. 12
HSS-3	22. 80	20. 24	1. 12
HSS-4	34. 31	29. 88	1. 14
HSS-5	36. 27	32. 30	1. 12
HSS-6	33. 44	29. 86	1. 12
HC- HSS-1	27. 90	30. 94	0.90
HC-HSS-2	58. 26	54. 37	1. 07
HC-HSS-3	41.88	38. 71	1.08
HC-HSS-4	66. 16	60. 84	1.08

## 4.2 试验梁裂缝分析对比

与受弯承载力计算相同, HSS-RC 梁的裂缝计算采用《规范》建议式:

$$\omega_{\text{max}} = \alpha_{\text{cr}} \psi \frac{\sigma_{\text{sq}}}{E_{\text{s}}} \left( 1.9c_s + 0.08 \frac{d_{\text{eq}}}{\rho_{\text{te}}} \right)$$
 (4)

式中:  $\alpha_{cr}$ 为构件受力特征系数;  $\psi$  为钢筋应变不均匀系数;  $\sigma_{sq}$ 为裂缝截面钢筋应力;  $E_{s}$  为钢筋弹性模量;  $c_{s}$  为最外层纵向受拉钢筋外边缘至受拉区底边的距离;  $d_{eq}$ 为受拉区纵向钢筋的等效直径;  $\rho_{te}$  为截面有效配筋率。

由于 UHPC 中钢纤维良好的抗拉性能,使得 HSS-UHPC 梁具有比 HSS-RC 梁更加优越的抗裂性能,无法直接使用《规范》给出的裂缝宽度计算公式计算 HSS-UHPC 梁的裂缝宽度,需考虑裂缝发展时受拉区 UHPC 对裂缝发展的阻碍作用。

基于普通钢筋混凝土构件最大裂缝宽度计算公式,引入修正系数 k 对其进行修正,获得适用于 HSS-UHPC 梁的裂缝宽度计算表达式<sup>[19]</sup>:

$$\omega_{\text{max}} = k_1 \alpha_{\text{cr}} \psi \frac{\sigma_{\text{sq}}}{E_{\text{s}}} \left( 1.9 c_s + 0.08 \frac{d_{\text{eq}}}{\rho_{\text{te}}} \right)$$
 (5)

式中:  $k_1$  为修正系数。根据试验所得数据对最大裂缝宽度计算式进行回归分析,可得 k 取值范围为  $0.26 \sim 0.57$ 。建议 k 取平均值 0.36。

试件计算宽度与实测宽度对比情况见表 7。所有 受弯构件计算宽度与实测宽度均吻合良好,本文提 出的裂缝宽度公式可用于预测 HSS-UHPC 梁的裂缝 宽度。

表 7 裂缝宽度理论计算值与试验值对比
Table 7 Comparison of the theoretical calculated value of crack width with the experimental value

		-	
编号	实测值/mm	计算值/mm	实测值/计算值
HSS-1	0.35	0.36	0. 97
HSS-2	0.40	0.39	1.02
HSS-3	0.39	0.41	0. 95
HSS-4	0. 37	0. 38	0. 97
HSS-5	0.35	0. 37	0.95
HSS-6	0. 33	0. 36	0. 92
HC-HSS-1	0. 14	0. 18	0.78
HC-HSS-2	0. 20	0. 19	1.05
HC-HSS-3	0. 20	0. 22	0.90
HC-HSS-4	0. 22	0. 23	0. 95

#### 5 结论

通过对不锈钢筋混凝土梁(HSS-RC)、不锈钢筋超高性能混凝土(HSS-UHPC)梁的受弯性能,对两类受弯构件的受弯性能、裂缝发展、破坏模式等进行了对比分析,主要得到以下结论:

- (1) 相较于 HSS-RC 梁, HSS-UHPC 梁出现裂缝时间较晚,梁破坏前仅有 1 条主裂缝,除主裂缝外,其余裂缝的发展程度都小于 HSS-RC 梁。
- (2) 提高梁的配筋率和截面积均可提高梁受弯承载能力,且 HSS-UHPC 梁提高幅度更加明显;构件截面应变基本呈线性分布,平截面假定仍适用于HSS-RC 梁与 HSS-UHPC 梁。
- (3)《规范》中受弯构件承载力计算公式及裂缝宽度计算公式对于 HSS-RC 梁仍然适用;《规范》中受弯构件承载力计算公式及裂缝宽度计算公式对于 HSS-UHPC 梁不再适用,需考虑受拉区 UHPC 的抗拉性能。
- (4) HSS-UHPC 梁中不锈钢筋与 UHPC 二者优势互补,使构件表现出更高的受弯承载能力和更好的抗裂性能。

#### 参考文献

- [1] 曹文凯,郑海兵,王艳丽,等.海水拌和混凝土中不锈钢筋早期腐蚀电化学行为研究 [J].表面技术,2024,53 (6):80-89
- [2] 王维忠. 对粉煤灰混凝土的碳化、钢筋锈蚀的调查研究 [J]. 粉煤灰, 2000 (2): 32-34.
- [3] 李清富,郭威,匡一航.基于连续强度法的不锈钢筋混凝土受 弯构件承载力分析 [J].应用基础与工程科学学报,2022,30 (3):554-565.
- [4] 李承昌,穆明浩,聂昌信,等. 不锈钢筋的力学及工艺性能 [J]. 公路交通科技,2016,33 (12):1-5.
- [5] BAHMANI H, MOSTOFINEJAD D. Microstructure of ultra-high-performance concrete (UHPC) a review study [J]. Journal of Building Engineering, 2022 (50): 104-118.
- [6] 王会杰,李红卫,郝梅,等. 超高性能混凝土研究与应用 [J]. 工业建筑,2023,53 (增刊1):672-674.
- [7] YANG I H, JOH C, KIM B S. Structural behavior of ultra high performance concrete beams subjected to bending [J]. Engineering structures, 2010, 32 (11): 3478-3487.
- [8] 常跃,黄俊旗,种迅,等. 超高性能混凝土加固钢筋混凝土梁 受弯性能研究[J]. 振动与冲击,2024,(下转第107页)

# 道桥技术。

刚度折减和加载龄期。其中敏感性最大参数自重, 当其增加20%时,下挠变化幅度达55.2%,且与预 应力损失相当。对于更大的不利扰动,在实际工程 中难以复现,且不符合实际施工标准,不再过多讨 论。综上可以看出,在有限扰动范围内,自重对于 主梁跨中下挠影响最为明显,其次为预应力损失、 刚度折减以及加载龄期。

#### 3 结论

- (1) 混凝土的超重增幅、初始加载龄期过短、成桥时间的增加、预应力损失以及刚度折减均会使桥梁长期下挠值增加,对线性产生不利影响。
- (2) 在有限扰动范围内,自重对于主梁跨中下 挠影响最为明显,其次为预应力损失、刚度折减以 及加载龄期,为有效预防连续刚构桥长期下挠,可 根据各参数敏感性程度采取相应控制措施。

#### 参考文献

- [1] 贺秋敏. 某预应力混凝土连续桥设计研究 [J]. 科学技术创新, 2023 (8): 185-188.
- [2] 韩朝辉. 预应力混凝土连续刚构桥长期下挠影响因素分析

- [D]. 昆明: 昆明理工大学, 2021.
- [3] 黄炜, 余健, 李晓猛, 等. 大跨度预应力混凝土连续刚构桥跨中下挠原因分析 [J]. 科技和产业, 2023, 23 (4): 254-260.
- [4] 黄荣贵. 某预应力混凝土连续刚构桥成桥线形影响因素分析 [J]. 西部交通科技, 2022 (12): 169-171.
- [5] 林志平,曾俊铖,夏江泉,等.大跨径连续刚构桥长期下挠设计对策参数化分析 [J].福建交通科技,2020 (2):76-78,98
- [6] 林兆新. 大跨径连续刚构桥长期下挠的施工影响因素参数化分析 [J]. 福建交通科技, 2019 (5); 96-98, 119.
- [7] 李进权. 连续刚构桥施工 BIM 技术应用 [J]. 交通建设与管理, 2023 (6): 94-96.
- [8] 陈瑛,熊志朋.连续刚构桥施工监测及参数敏感性分析 [J]. 交通科技,2023 (3):80-85.
- [9] 陈瑛, 熊志朋. 连续刚构桥施工监测及参数敏感性分析 [J]. 交通科技, 2023 (3): 80-85.
- [10] 黄安民. 连续刚构跨中下挠影响的研究 [J]. 交通世界, 2024 (Z2): 281-283.
- [11] 秦军,苗建宝,张小亮. PC 连续刚构桥跨中长期下挠优化 [J]. 公路交通科技(应用技术版),2020,16(10):182-185.
- [12] 李华,王谦. 预应力损失及合龙措施对大跨径 PC 连续刚构桥跨中下挠的影响[J]. 黑龙江交通科技,2022,45(4):101-104.

# edecement of the company of the comp

## (上接第86页)

43 (11): 288-296.

- [9] RABI M, SHAMASS R, CASHELL K A. Experimental investigation on the flexural behaviour of stainless steel reinforced concrete beams [J]. Structure and Infrastructure Engineering, 2022, 19 (12): 1-13.
- [10] 高迪,张辉,王晓峰,等. 配置高强不锈钢筋混凝土梁受弯承载力试验研究 [J]. 建筑科学,2018,34 (5):40-43.
- [11] 赵毅,王晓锋,赵勇.高强不锈钢筋混凝土梁短期受弯裂缝宽度和刚度计算方法研究[J].建筑结构学报,2021,42(增刊1):268-276.
- [12] 张国学,赵峰,张志浩,等.不锈钢筋混凝土梁抗震性能试验研究[J].中国铁道科学,2010,31(5):35-40.
- [13] 王照耀,邵珠山,梁兴文,等. 钢筋超高性能混凝土梁细观多 机制抗剪模型研究 [J/OL]. 建筑结构学报,1-14 [2024-09-

- 25]. https://doi.org/10.14006/j.jzjgxb.2022.0754.
- [14] 徐明雪,梁兴文,于婧,等. UHPC 梁短期刚度理论与试验研究[J]. 工程力学,2019,36(1):146-154,164.
- [15] 徐海滨,邓宗才. UHPC 梁开裂弯矩和裂缝试验 [J]. 哈尔滨工业大学学报,2014,46(4):87-92.
- [16] 杨剑,方志. 超高性能混凝土梁正截面承载力 [J]. 中国铁道科学,2009,30 (20):23-30.
- [17] 中国钢铁工业协会. 金属材料拉伸试验第1部分室温试验方法: GB/T 228.1—2021 [S]. 北京: 中国建筑工业出版社, 2021.
- [18] 中国建筑科学研究院. 混凝土结构设计规范: GB 50010—2010 [S]. 北京: 中国建筑工业出版社, 2011.
- [19] 李海云,韩金良,李然,等. 高强不锈钢筋 UHPC 梁受弯性能 试验研究 [J]. 建筑科学, 2024, 40 (1): 93-100.